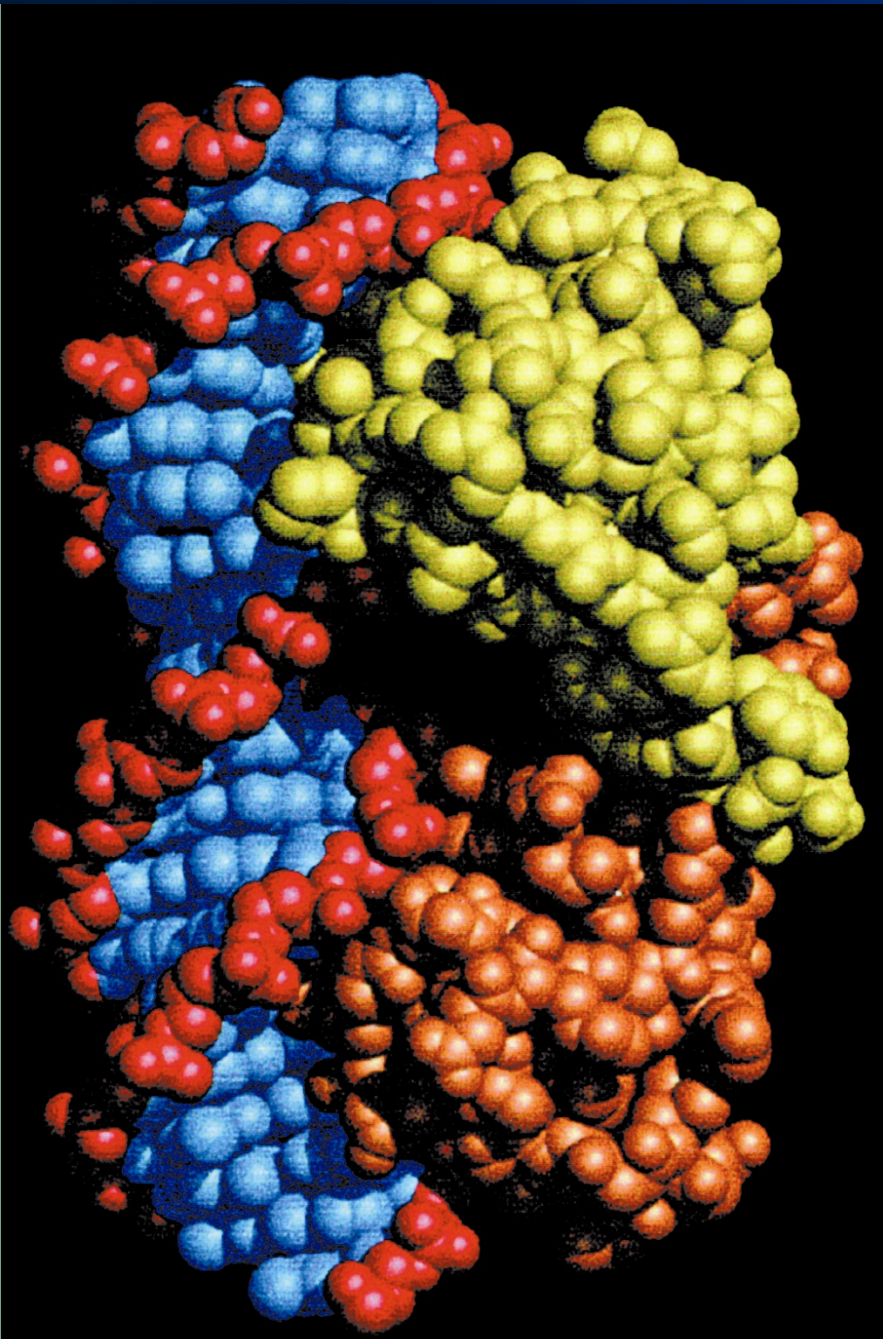


# ΜΙΚΡΟΒΙΟΛΟΓΙΑ

## Γιώργος Τσιάμης

### Αναπληρωτής Καθηγητής

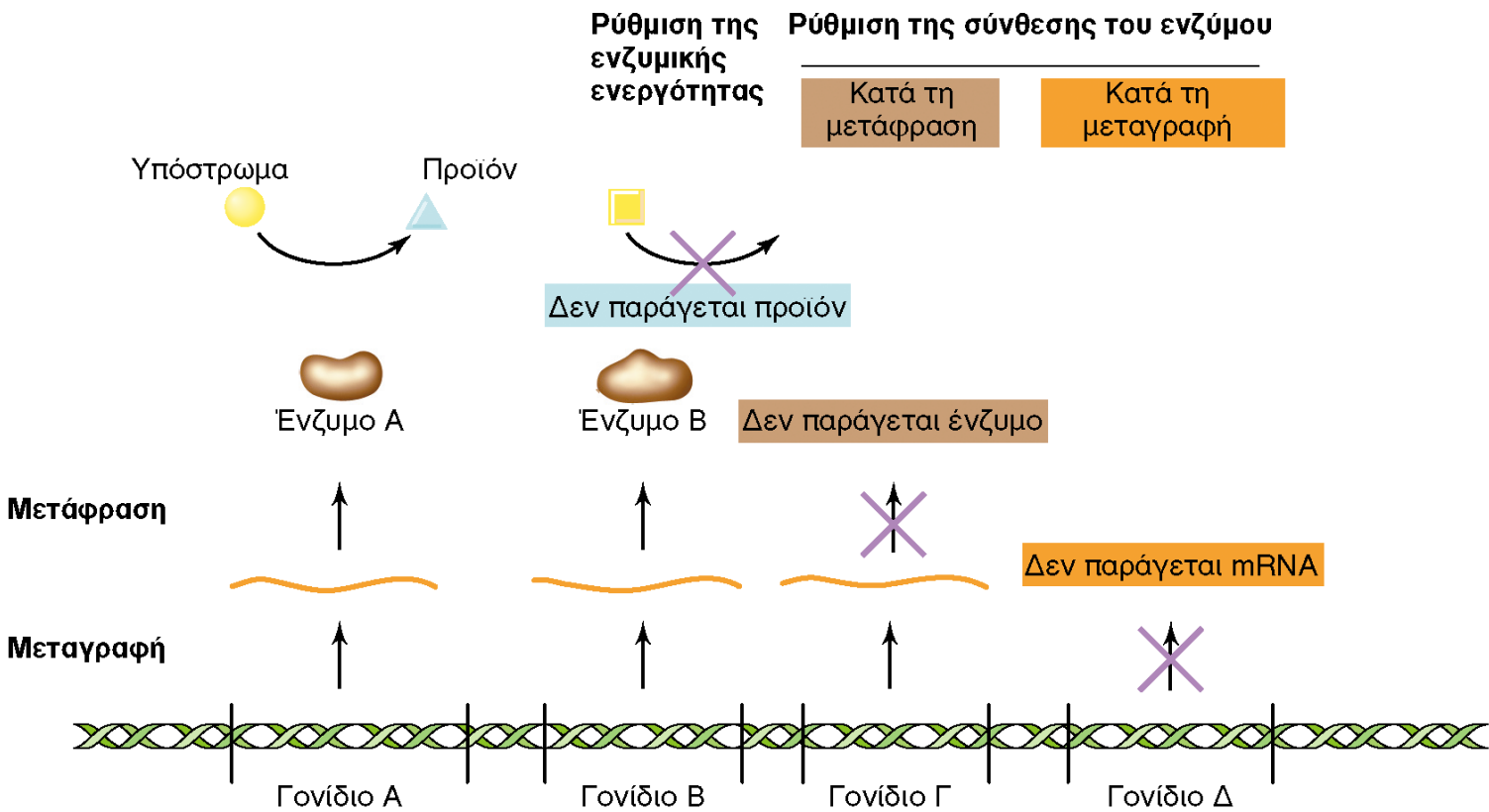
### Περιβαλλοντικής Μικροβιολογίας



# 8

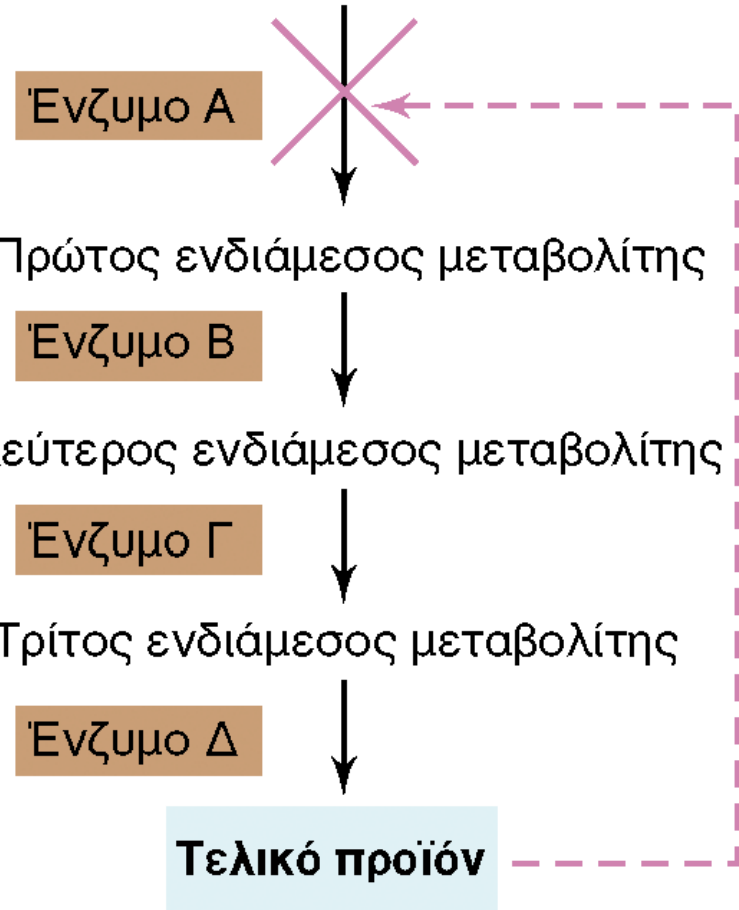
## ΡΥΘΜΙΣΗ ΤΗΣ ΓΟΝΙΔΙΑΚΗΣ ΕΚΦΡΑΣΗΣ

Τα περισσότερα γονίδια περιέχουν την πληροφορία που είναι απαραίτητη για την κωδίκευση μίας πρωτεΐνης. Εν τούτοις, για να συντεθεί η πρωτεΐνη αυτή πρέπει πρώτα να εκφραστεί το γονίδιο. Οι οργανισμοί ρυθμίζουν την έκφραση των γονιδίων τους με τέτοιο τρόπο, ώστε οι πρωτεΐνες, και άλλα μόρια, να συντίθενται στη σωστή ποσότητα και στον σωστό χρόνο, κατά τη διάρκεια του κυτταρικού κύκλου. Η ρύθμιση της γονιδιακής έκφρασης μπορεί να επηρεαστεί από το περιβάλλον του κυττάρου. Συχνά, αυτή η ρύθμιση περιλαμβάνει αλληλεπιδράσεις μεγάλης ακρίβειας μεταξύ συγκεκριμένων γονιδίων στο DNA και ειδικών ρυθμιστικών πρωτεϊνών, όπως παρουσιάζεται εδώ στην περίπτωση του πρωτεΐνικου καταστολέα του βακτηριοφάγου λάμδα (μιας πρωτεΐνης που ρυθμίζει τη μεταγραφή), ο οποίος δεσμεύεται στο DNA (του φάγου). Η δέσμευση πρωτεϊνών στο DNA αποτελεί έναν μηχανισμό που μπορεί να προκαλέσει τόσο την «ενεργοποίηση» όσο και την «απενεργοποίηση» της γονιδιακής έκφρασης.

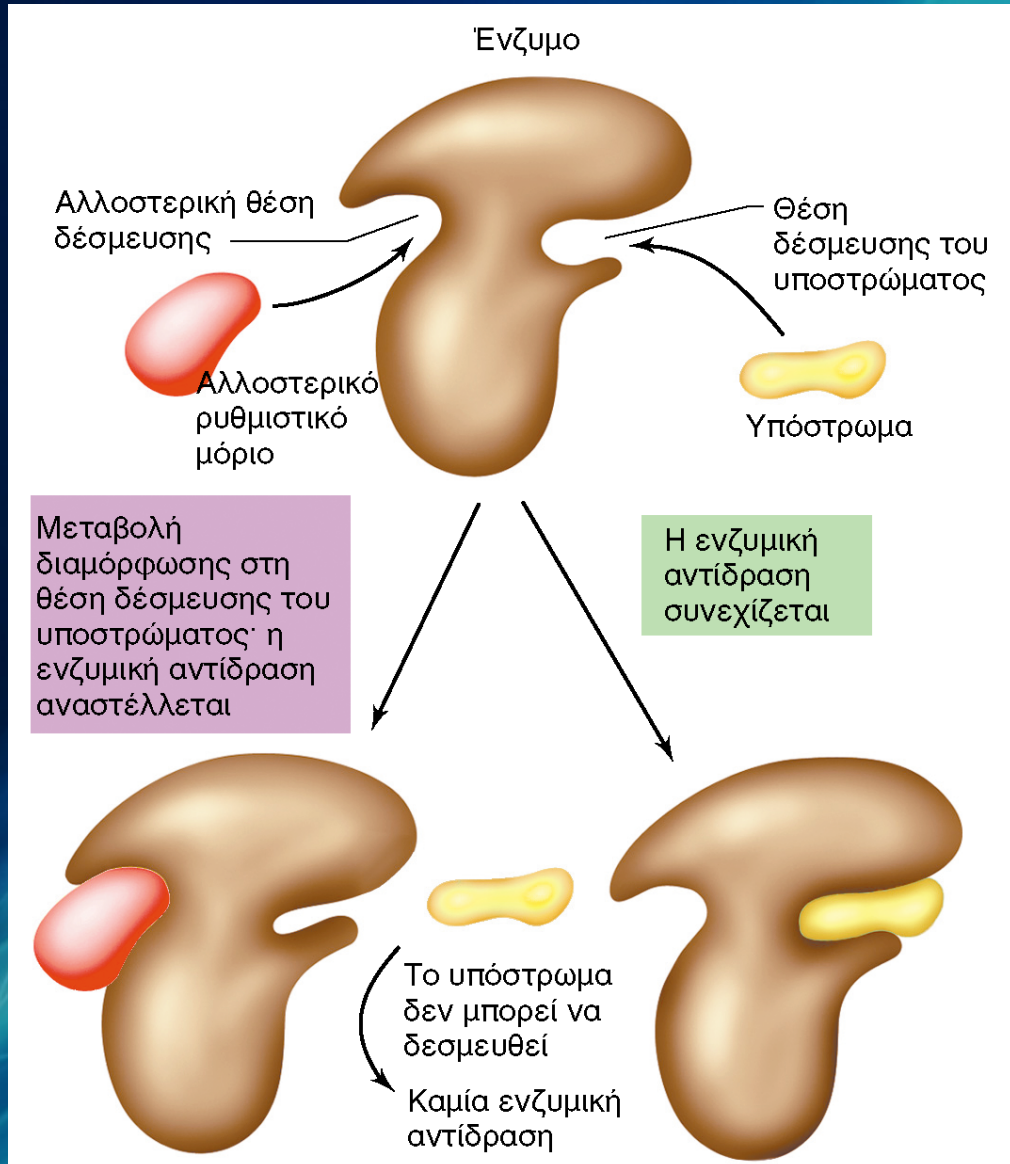


**Εικόνα 8.1** Επισκόπιση των μηχανισμών που μπορεί να χρησιμοποιηθούν στη ρύθμιση. Προϊόν του γονιδίου Α είναι το ένζυμο Α, το οποίο συντίθεται ως συστατικό και εκτελεί την αντίδρασή του. Το ένζυμο Β συντίθεται επίσης ως συστατικό, αλλά η ενεργότητά του μπορεί να ανασταλεί. Η σύνθεση του προϊόντος του γονιδίου Γ μπορεί να παρεμποδιστεί μέσω ελέγχου στο επίπεδο της μετάφρασης. Η σύνθεση του προϊόντος του γονιδίου Δ μπορεί να παρεμποδιστεί μέσω ελέγχου στο επίπεδο της μεταγραφής.

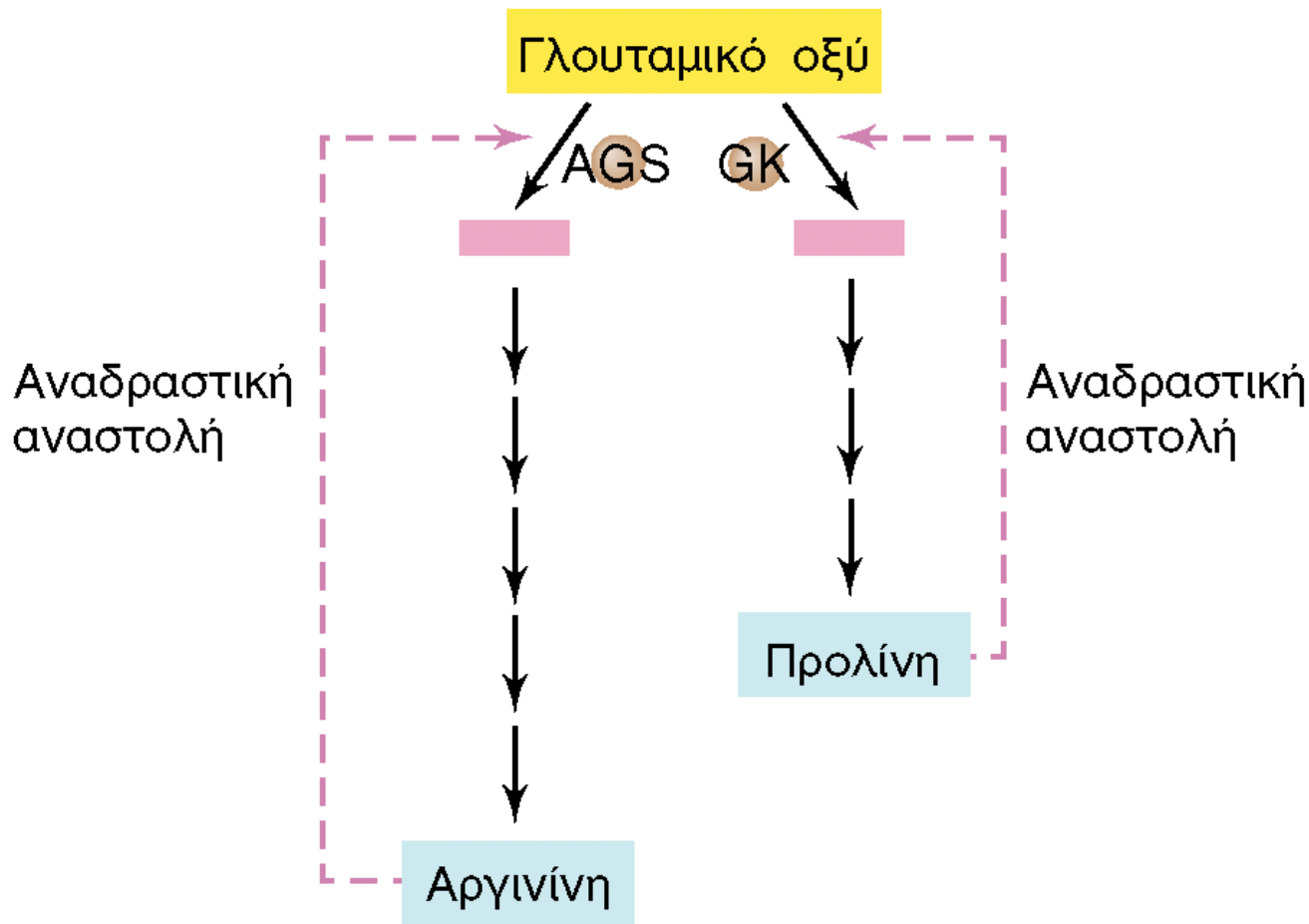
## Πρώτη ύλη



**Εικόνα 8.2** Αναδραστική αναστολή της ενζυμικής ενεργότητας. Η ενεργότητα του πρώτου ενζύμου της βιοσυνθετικής οδού αναστέλλεται από το τελικό προϊόν και έτσι ελέγχεται η παραγωγή του τελικού προϊόντος.



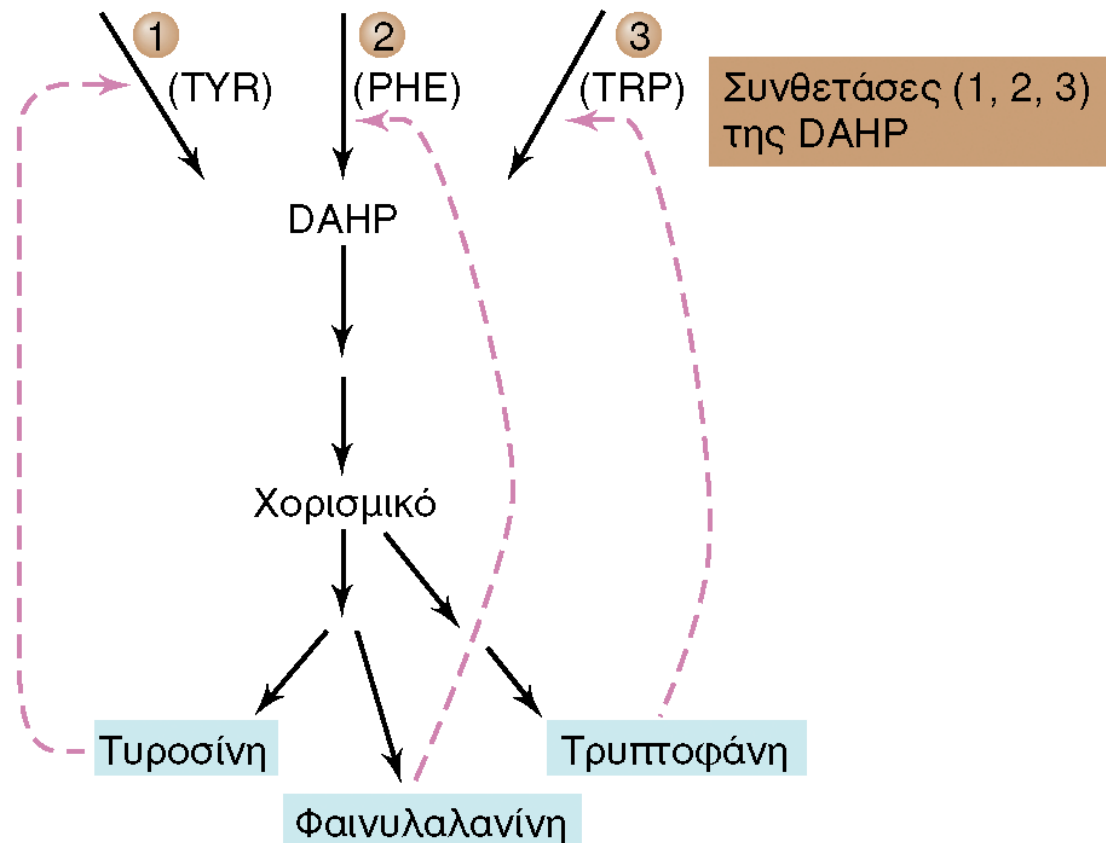
**Εικόνα 8.3** Μηχανισμός ενζυμικής αναστολής από ένα αλλοστερικό ρυθμιστικό μόριο. Όταν το μόριο αυτό ενώνεται με την αλλοστερική θέση, μεταβάλλεται η διαμόρφωση του ενζύμου και το υπόστρωμα δεν μπορεί πλέον να δεσμευθεί.



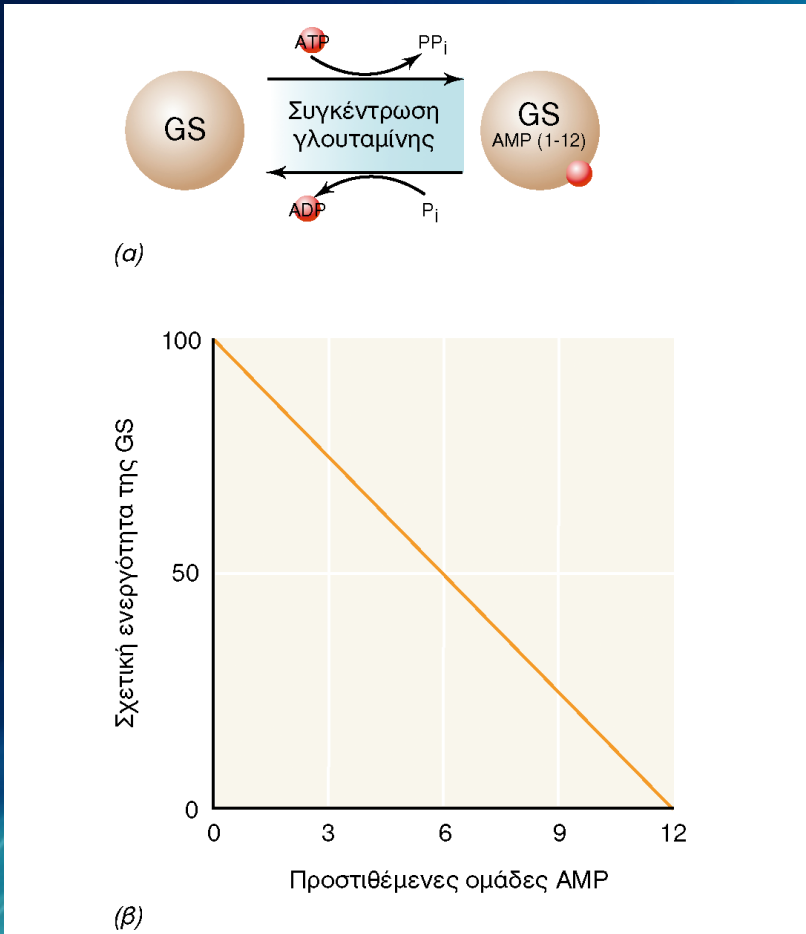
**Εικόνα 8.4** Αναδραστική αναστολή (κόκκινα, διακεκομένα βέλη) δύο διακλαδωμένων βιοσυνθετικών οδών. Ο ενδιάμεσος μεταβολίτης-κλειδί της κάθε οδού παρουσιάζεται με ρόδινο χρώμα. Τα ένζυμα που αναστέλλονται είναι η *N*-ακετυλογλουταμική συνθετάση (AGS) και η γ-γλουταμυλική κινάση (GK).

Φωσφοενολο-  
πυροσταφυλικό

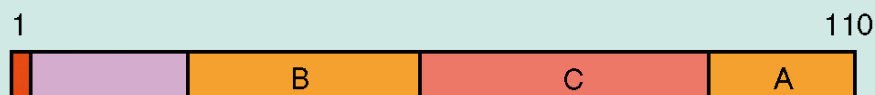
+ 4-φωσφορική ερυθρόζη



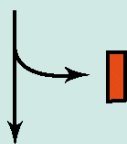
**Εικόνα 8.5** Η συνηθισμένη οδός που οδηγεί στη σύνθεση των αρωματικών αμινοξέων περιέχει τρία ισοένζυμα της συνθετάσης της DAHP (7-φωσφο-3-δεοξυ-D-αραβινο-επτουλοζονικό). Κάθε ένα από τα ένζυμα αυτά αναστέλλεται ειδικά μέσω ανάδρασης από κάποιο αρωματικό αμινοξύ. Προσέξτε ότι απαιτείται περίσσεια και των τριών αμινοξέων για να σταματήσει τελείως η σύνθεση της DAHP.



**Εικόνα 8.6** Ρύθμιση της συνθετάσης της γλουταμίνης μέσω ομοιοπολικής τροποποίησης. (α) Όταν τα κύτταρα αυξάνονται σε μέσο πλούσιο σε δεσμευμένο άζωτο, η συνθετάση της γλουταμίνης (GS) τροποποιείται ομοιοπολικά μέσω προσδευτικής αδενυλυλιώσης. Στο ένζυμο μπορούν να προστεθούν έως και 12 αδενυλυλικές ομάδες (AMP). Όταν το θρεπτικό μέσο καταστεί πλέον φτωχό σε άζωτο, οι ομάδες απομακρύνονται και σχηματίζουν ADP. (β) Οι αδενυλυλιωμένες υπομονάδες της GS είναι ανενεργές και κατ' αυτόν τον τρόπο η συνολική ενεργότητα του ένζυμου ελαττώνεται ολοένα και περισσότερο όσο περισσότερες υπομονάδες αδενυλυλιώνονται. Οι όποιες υπομονάδες παραμένουν μη αδενυλυλιωμένες, εξακολουθούν να είναι ενεργές, αλλά εμφανίζουν αυξημένη ευαισθησία στην αναδραστική αναστολή.

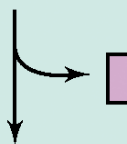


Προ-προϊνσουλίνη  
(110 αμινοξικά κατάλοιπα)



110

Απομάκρυνση της  
αρχικής μεθειονίνης

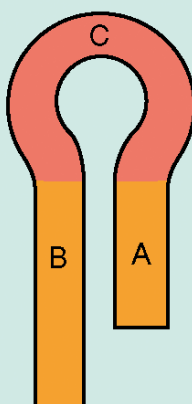


Απομάκρυνση του  
πεπτιδίου-σηματοδότη

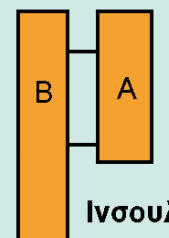
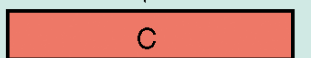


Προϊνσουλίνη

Αναδίπλωση

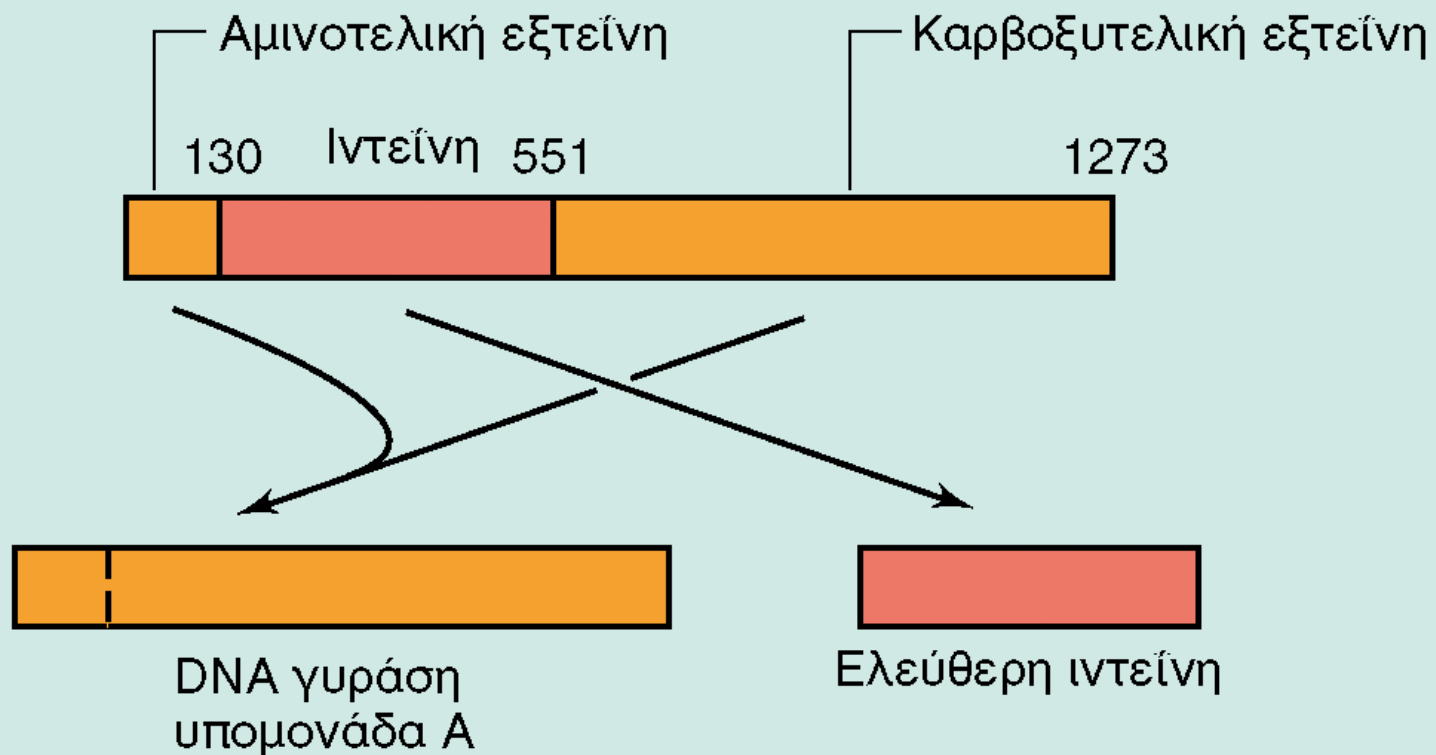


Απομάκρυνση του  
καρβοξυτελικού πεπτίδιου

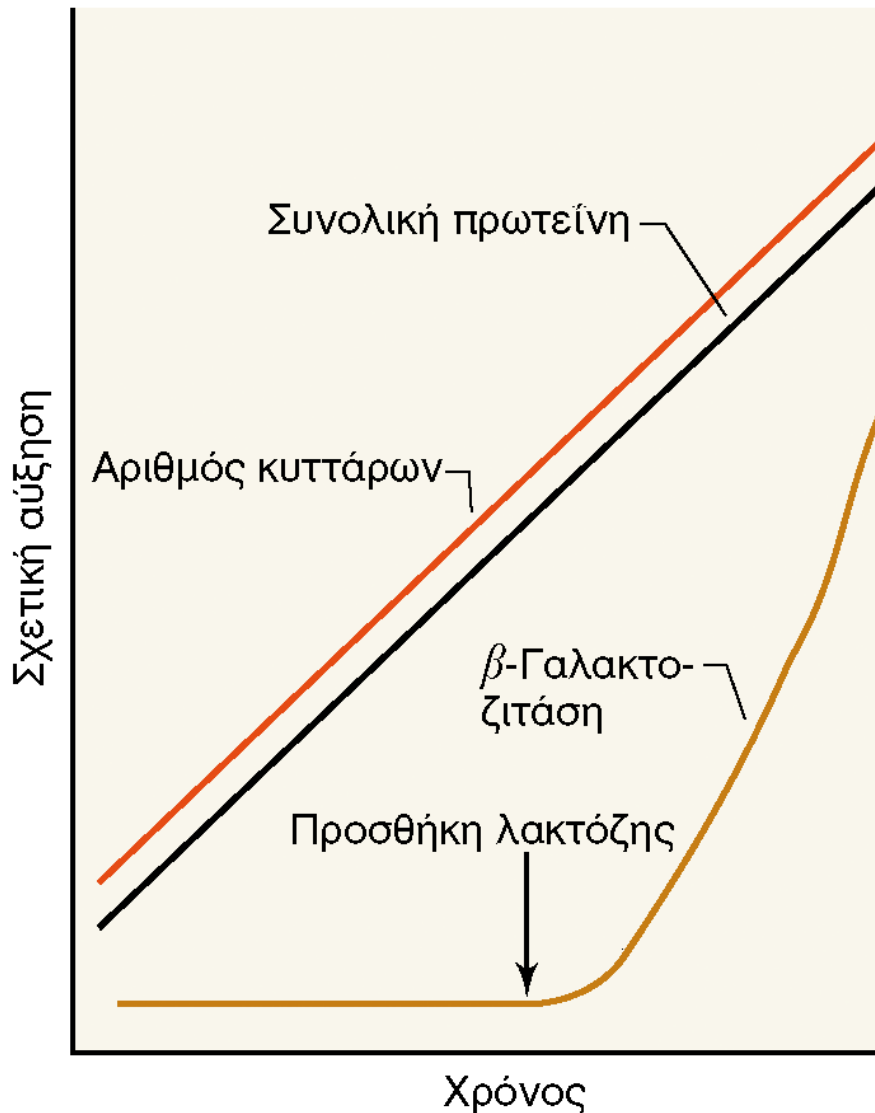


Ινσουλίνη

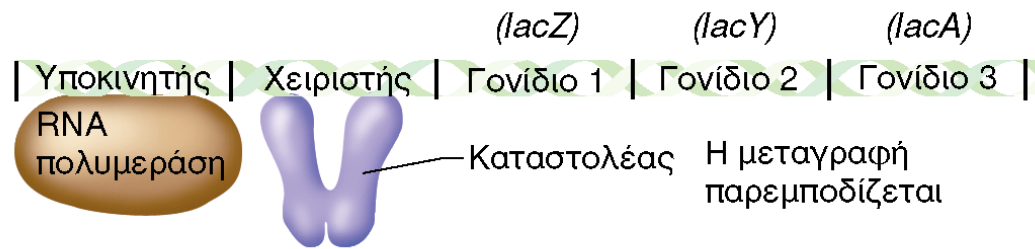
**Εικόνα 1 Επεξεργασία της προ-προϊνσουλίνης.** Η εναρκτήρια μεθειονίνη αποκόπτεται από την αλυσίδα πριν την ολοκλήρωση της σύνθεσης του συνολικού μορίου της προ-προϊνσουλίνης. Ακολούθως απομακρύνεται το πεπτιδίο-σηματοδότης, αναδιπλώνεται το μόριο της προϊνσουλίνης και αποκόπτεται το καρβοξυτελικό πεπτίδιο C, αφήνοντας την ινσουλίνη με τις αλυσίδες A και B. Οι αλυσίδες αυτές συγκρατούνται μεταξύ τους μέσω δισουλφιδικών δεσμών ( Τμήμα 3.8).



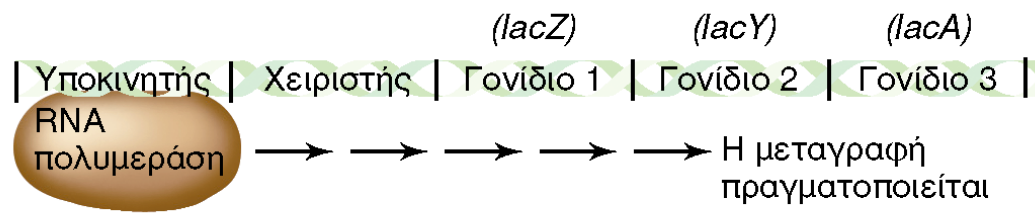
**Εικόνα 2 Συρραφή πρωτεϊνών.** Η πρωτεΐνη που συντίθεται από το mRNA του γονιδίου *gyrA* στο *Mycobacterium leprae* έχει μήκος 1273 αμινοξικά κατάλοιπα (έχει μήκος 10 φορές μεγαλύτερο από την προ-προϊνσουλίνη που απεικονίζεται στην Εικόνα 1). Τα κατάλοιπα 131 έως 550 συνιστούν μια ιντείνη, η οποία αυτοαφαιρείται μέσω μιας αντίδρασης αυτοσυρραφής που δημιουργεί μια ελεύθερη ιντείνη και την υπομονάδα Α της DNA γυράσης.



**Εικόνα 8.11** Επαγωγή του ενζύμου  $\beta$ -γαλακτοζιτάση, με την προσθήκη λακτόζη στο θρεπτικό μέσο. Σημειώστε ότι ο ρυθμός της συνολικής πρωτεΐνικής σύνθεσης παραμένει αμετάβλητος.

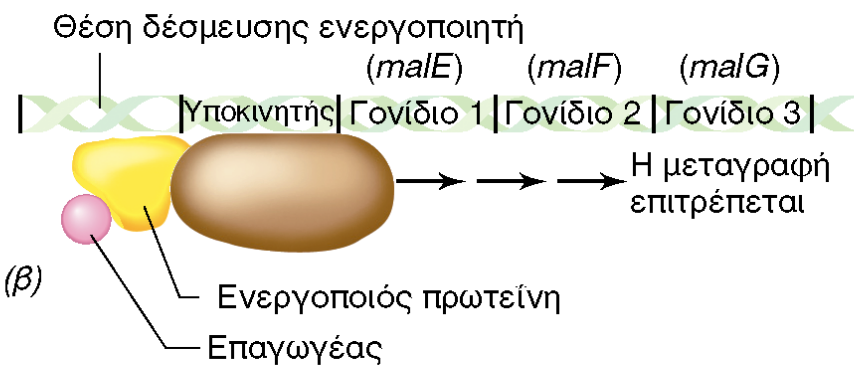
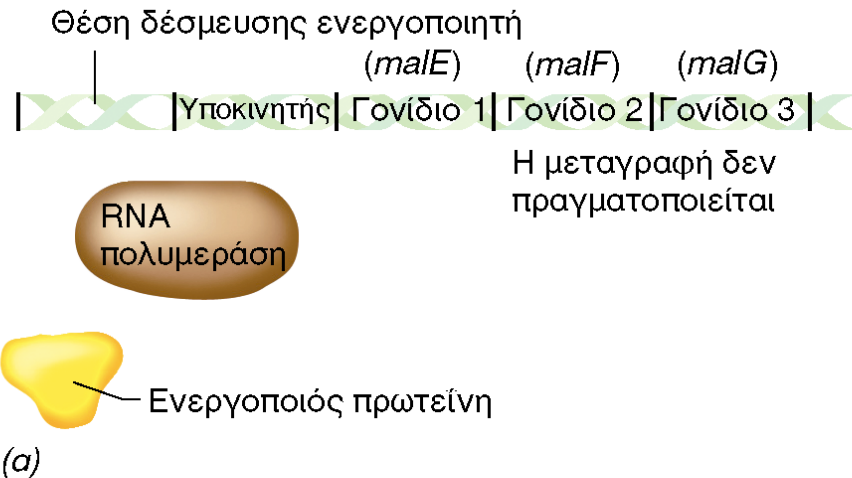


(a)

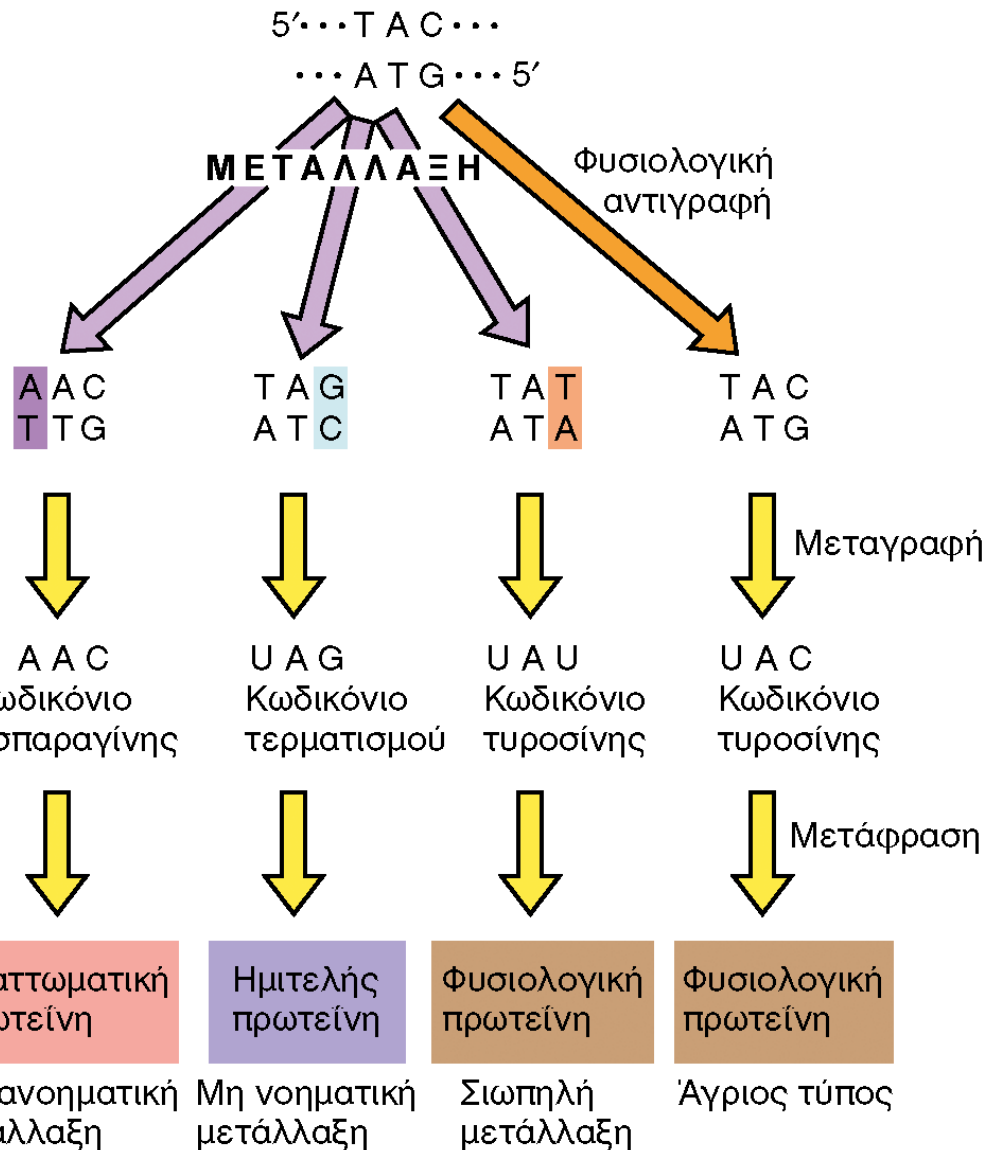


(β)

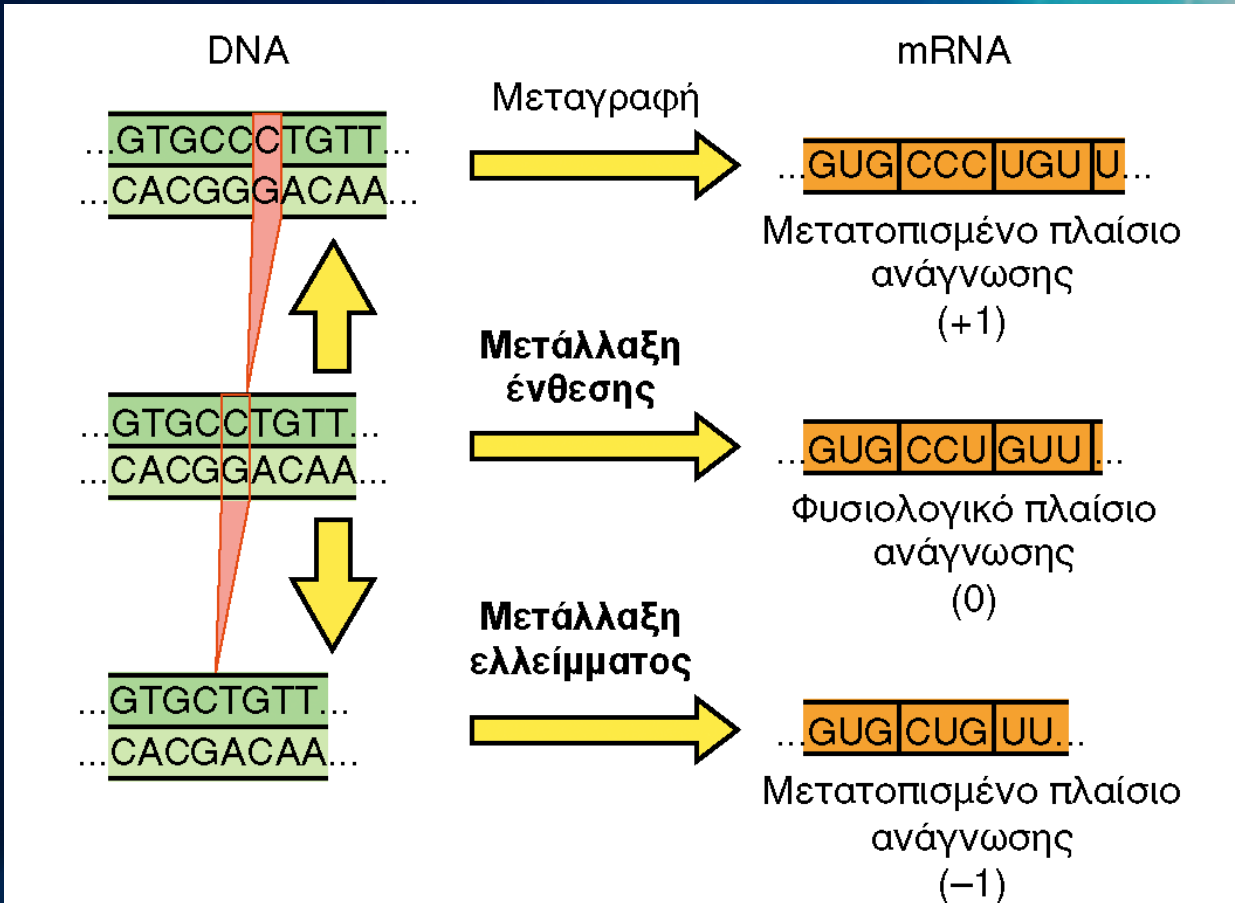
**Εικόνα 8.13** Η διαδικασία της ενζυμικής επαγωγής με τη χρήση καταστολέα. (a) Μια κατασταλτική πρωτεΐνη δεσμεύεται στην περιοχή του χειριστή και παρεμποδίζει τη δράση της RNA πολυμεράσης. (β) Ένα επαγωγικό μόριο δεσμεύεται στον καταστολέα και τον απενεργοποιεί, ούτως ώστε ο τελευταίος να μην μπορεί πλέον να δεσμευθεί στην χειριστή. Η μεταγραφή από την RNA πολυμεράση πραγματοποιείται, και συντίθεται το mRNA του οπερονίου. Στη περίπτωση του οπερονίου lac, καταστολέας είναι ο καταστολέας lac και επαγωγέας είναι η αλλολακτόζη.



**Εικόνα 8.14** Θετικός έλεγχος της ενζυμικής επαγωγής. (a) Απουσία επαγωγέα, ούτε η ενεργοποιός πρωτεΐνη ούτε η πολυμεράση του RNA μπορούν να δεσμευθούν στο DNA. (β) Ένα μόριο-επαγωγέας δεσμεύεται στην ενεργοποιό πρωτεΐνη, η οποία με τη σειρά της δεσμεύεται στη θέση δέσμευσης του ενεργοποιητή. Αυτό επιτρέπει στην RNA πολυμεράση να δεσμευθεί στον υποκινητή και να αρχίσει τη μεταγραφή. Στην περίπτωση του οπερονίου *malEFG*, ενεργοποιός πρωτεΐνη είναι η ενεργοποιός πρωτεΐνη της μαλτόζης και επαγωγέας το σάκχαρο μαλτόζη.



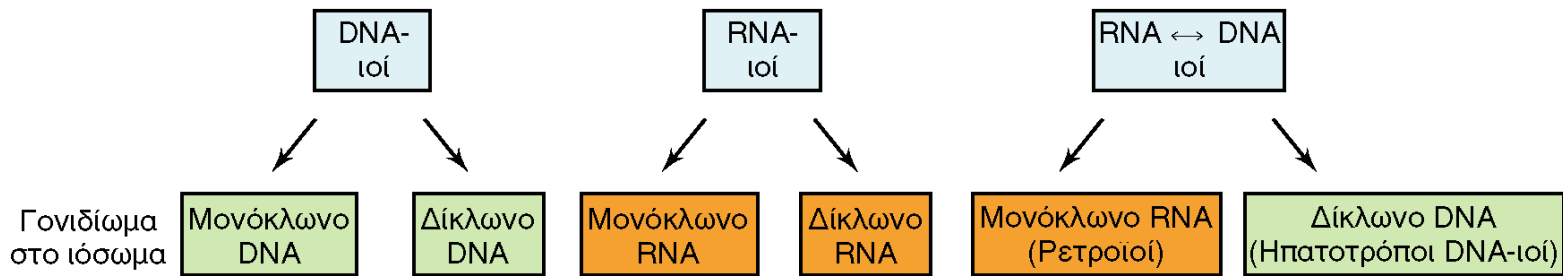
**Εικόνα 10.3** Πιθανές συνέπειες από την αντικατάσταση ζευγών βάσεων σε γονίδιο που κωδικεύει πρωτεΐνη: τρία διαφορετικά πρωτεΐνικά προϊόντα που προκύπτουν από αλλαγές σε ένα μόνο κωδικόνιο στο DNA.



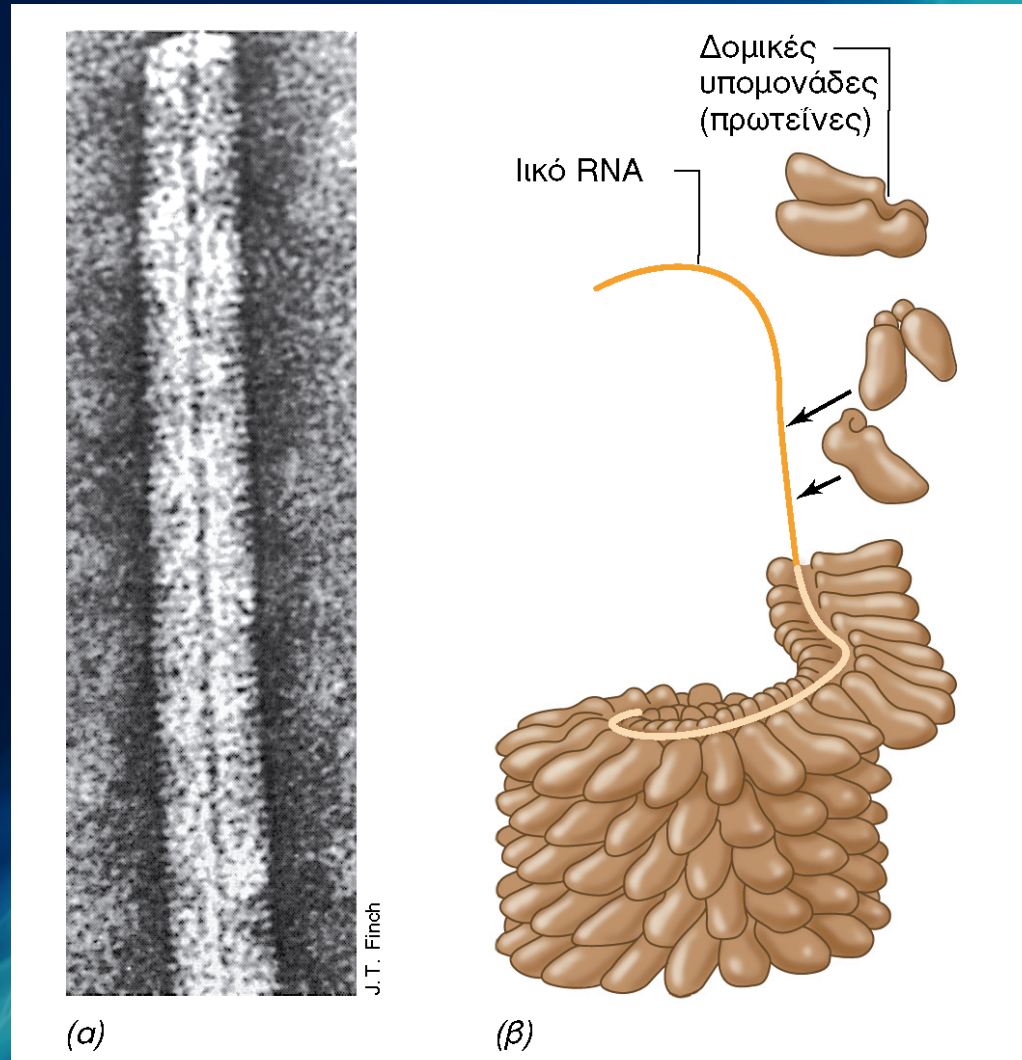
#### Εικόνα 10.4

Μετατοπίσεις στο πλαίσιο ανάγνωσης του mRNA, που προκαλούνται από ενθέσεις ή ελλείμματα βάσεων στο DNA. Το πλαίσιο ανάγνωσης στο mRNA καθορίζεται από το ριβόσωμα στο άκρο 5' (προς τα αριστερά της εικόνας) και προάγεται ανά ομάδα τριών βάσεων (κωδικόνια· Τμήματα 7.13 και 7.15). Το φυσιολογικό πλαίσιο ανάγνωσης αναφέρεται ως πλαίσιο 0, αυτό στο οποίο λείπει μία βάση ως πλαίσιο -1, και αυτό με μία επιπλέον βάση ως πλαίσιο +1. Για να καθορίσετε τις συνέπειες μιας μετάλλαξης μετατόπισης πλαισίου, μεταφράστε τα κωδικόνια χρησιμοποιώντας τον Πίνακα 7.3.





**Εικόνα 9.1** Ιικά γονιδιώματα. Το γονιδίωμα ενός ιού αποτελείται είτε από DNA είτε από RNA, αν και ορισμένοι ιοί χρησιμοποιούν σε διαφορετικές φάσεις του βιολογικού τους κύκλου τόσο το ένα όσο και το άλλο οξύ ως γενετικό υλικό. Σε κάθε περίπτωση, πάντως, στο ιόσωμα κάθε συγκεκριμένου πικού είδους βρίσκεται ένα μόνο είδος νουκλεϊκού οξέος, το οποίο είναι είτε μονόκλωνο είτε δίκλωνο ή, όπως στην περίπτωση των ηπατοτρόπων DNA-ιών, μερικώς δίκλωνο.

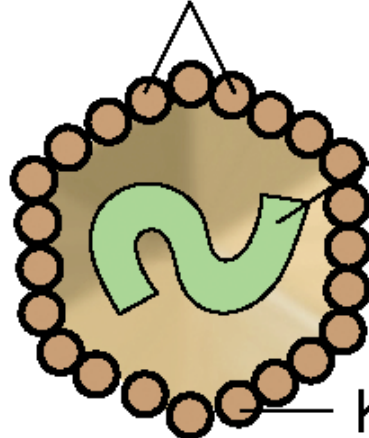


(a)

(β)

**Εικόνα 9.2** Διάταξη του νουκλεϊκού οξέος και του πρωτεϊνικού περιβλήματος σε έναν απλό ιό, τον ιό του μωσαϊκού του καπνού. (a) Ένα τμήμα του ιοσώματος, όπως φαίνεται σε πλεκτρονιακό μικροσκόπιο υψηλής ανάλυσης. (β) Συγκρότηση του ιοσώματος στον ιό του μωσαϊκού του καπνού. Το RNA του ιού έχει ελικοειδή διαμόρφωση και περιβάλλεται από την καψιδιακή πρωτεΐνη. Ο εσωτερικός αυλός του ιοσώματος είναι κενός.

Καψομερή



Νουκλεϊκό οξύ

Καψίδιο  
(αποτελούμενο από καψομερή)

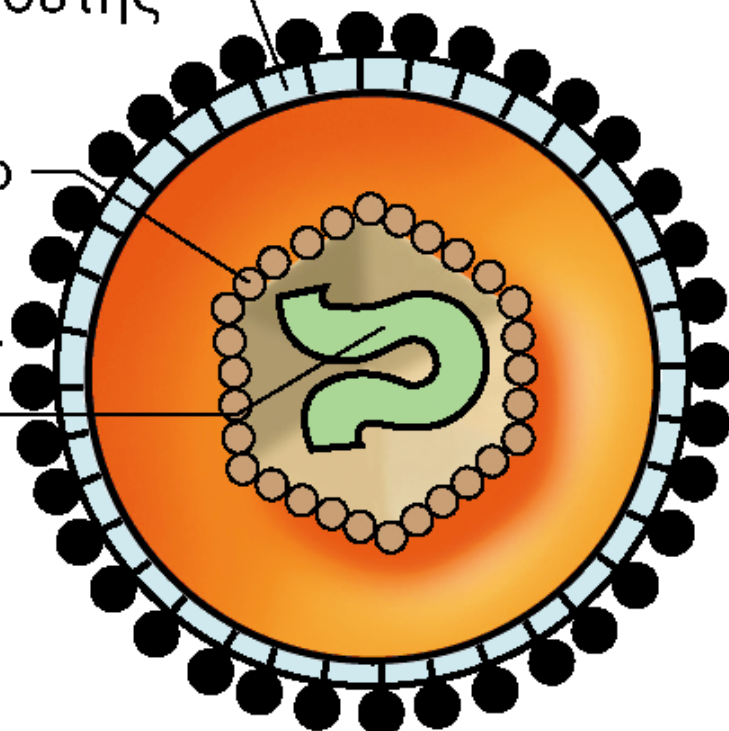
Γυμνός ιός

Νουκλεοκαψίδιο

Επενδύτης

Καψίδιο

Νουκλεϊκό οξύ

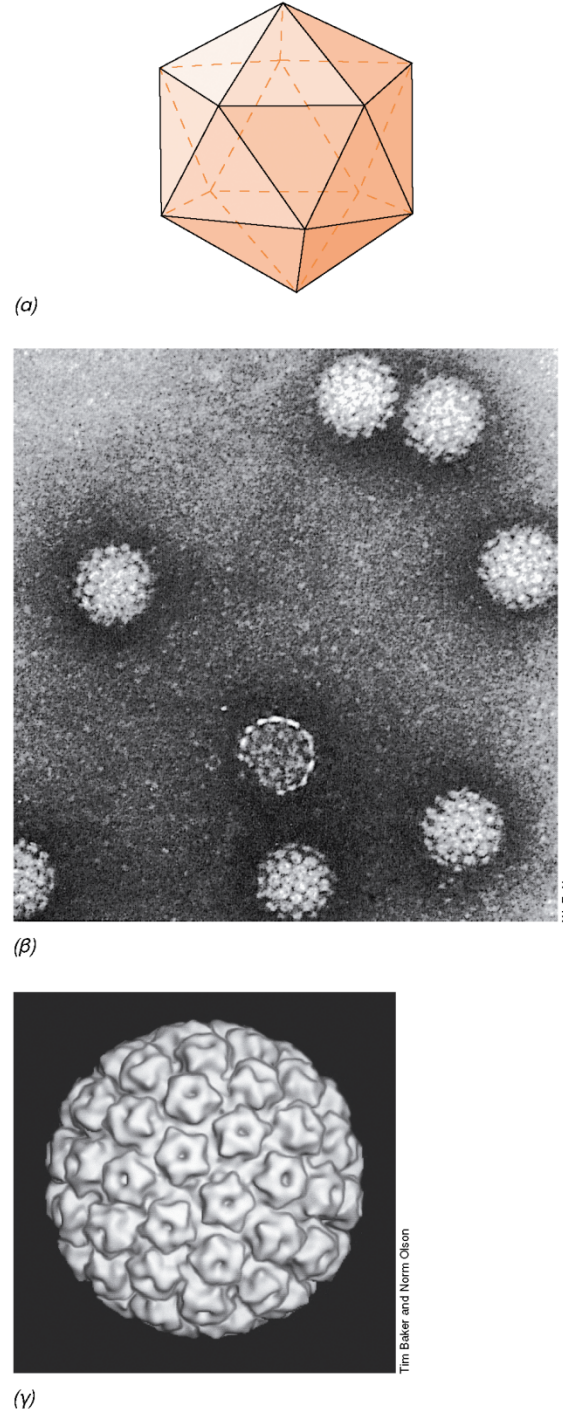


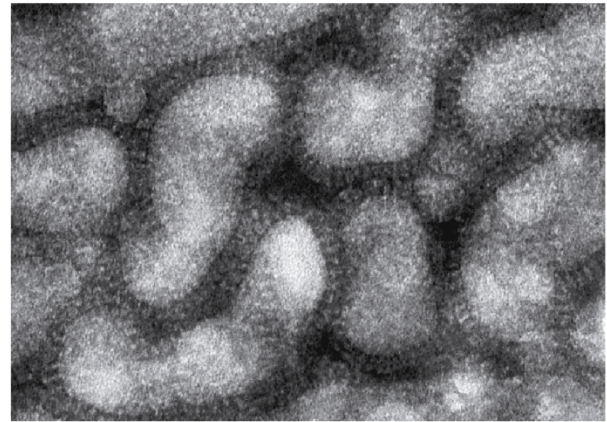
Επενδεδυμένος ιός

### Εικόνα 9.3

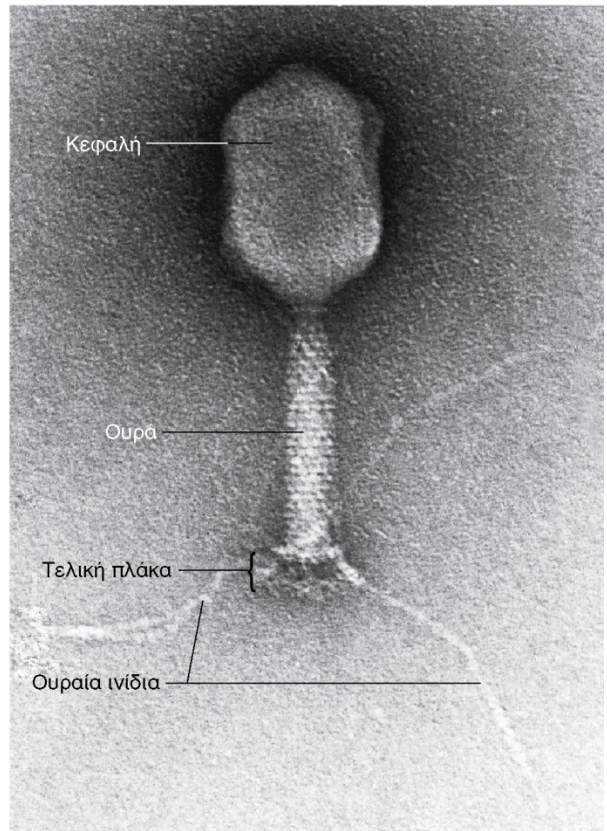
Σύγκριση ενός γυμνού και ενός επενδεδυμένου ιού, δύο πολύ κοινών τύπων ιοσώματος.

**Εικόνα 9.4** Εικοσαεδρική συμμετρία. (α) Γεωμετρική αναπαράσταση ενός εικοσαέδρου. (β) Ο ιός του θηλώματος του ανθρώπου, όπως φαίνεται στο πλεκτρονιακό μικροσκόπιο. Ο ιός αυτός έχει εικοσαεδρική συμμετρία. Κάθε μεμονωμένο ιόσωμα έχει διάμετρο περίπου 55 nm. (γ) Τριδιάστατη αναπαράσταση του ίδιου ιού, όπως προκύπτει από εικόνες ιοσωμάτων που έχουν υποστεί ψυκτοενυδάτωση.





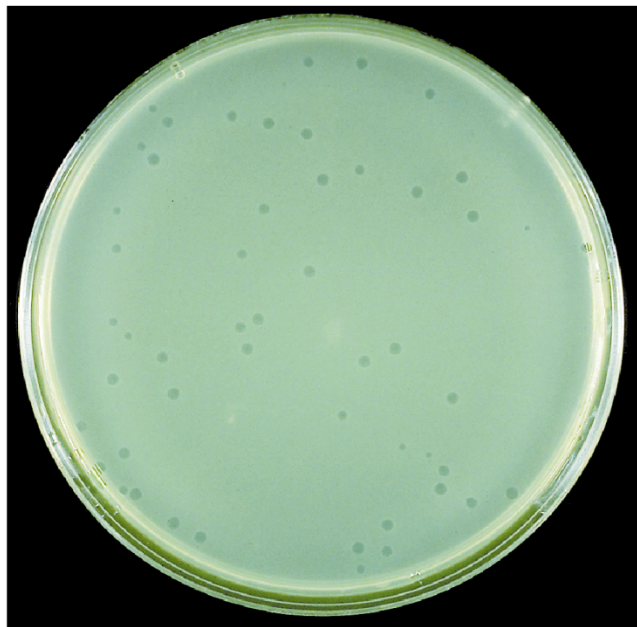
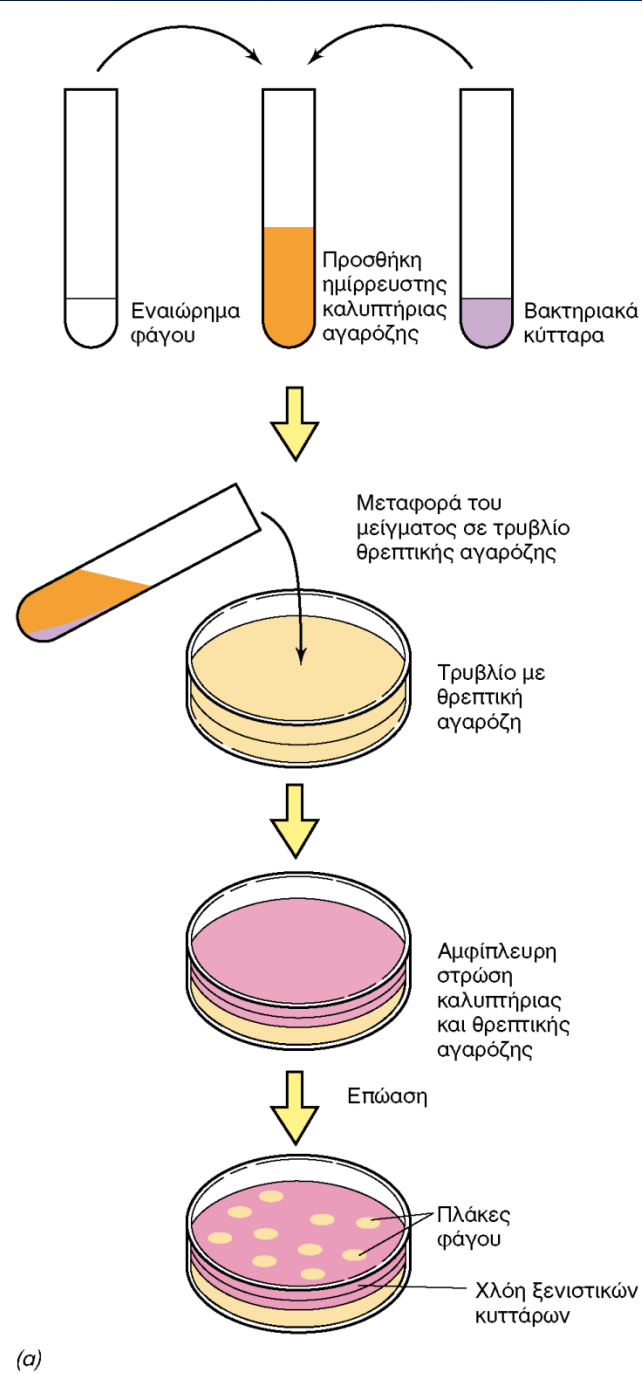
(α)



(β)

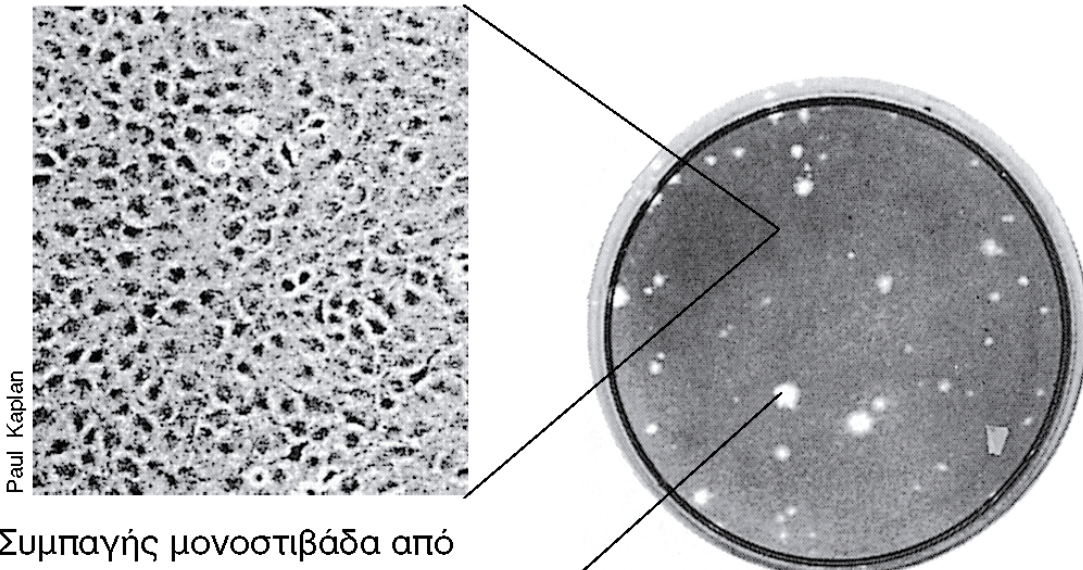
## Εικόνα 9.5

Ένας ζωικός και ένας βακτηριακός ιός, όπως φαίνονται στο πλεκτρονιακό μικροσκόπιο. (α) Ο ιός της γρίππης είναι ένας επενδεδυμένος ιός. Κάθε μεμονωμένο ιόσωμα έχει διάμετρο περίπου 80 nm, αλλά στερείται καθορισμένου σχήματος (Εικόνα 16.15). Ο ιός της γρίππης θα περιγραφεί αναλυτικότερα στο Τμήμα 16.8. (β) Ο βακτηριακός ιός (φάγος) T4 της *Escherichia coli* είναι ένας ιός με πολύπλοκη δομή. Τα συστατικά της ουράς συμμετέχουν στην προσκόλλοση του ιοσώματος στον ξενιστή και στην έγχυση του νουκλεϊκού οξέος (βλ. Εικόνα 9.10). Η κεφαλή έχει διάμετρο περίπου 85 nm. Ο βακτηριοφάγος T4 περιγράφεται αναλυτικότερα στο Τμήμα 9.9.



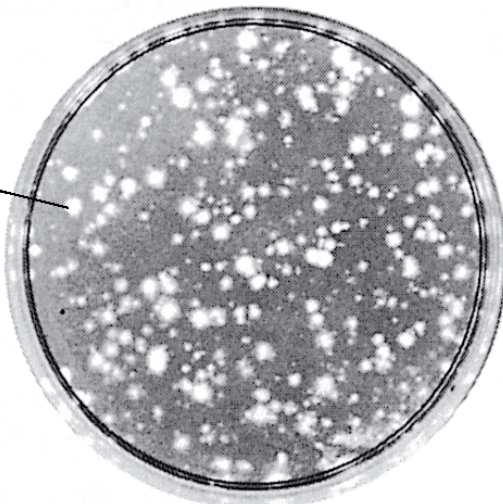
Jack Parker

**Εικόνα 9.6** Ποσοτική μέτρηση πλακών ενός βακτηριακού ιού με τη μέθοδο της επίστρωσης αγαρόζης. (α) Ένα αραιωμένο εναιωρήμα με τον υπό μελέτη ιό αναμειγνύεται με μια μικρή ποσότητα ημίρρευστης αγαρόζης που περιέχει τα δεκτικά βακτήρια-ξενιστές, και το μείγμα τοποθετείται στην επιφάνεια ενός τρυβλίου με θρεπτική αγαρόζη. Τα ξενιστικά βακτήρια, τα οποία έχουν απλωθεί ομοιογενώς σε όλη την άνω επιφάνεια της αγαρόζης, αρχίζουν να αυξάνονται και, μετά από ολονύκτια επώαση, σχηματίζουν μια χλόη συμπαγούς αύξονσης. Κάθε ιόσωμα που προσκολλάται και πολλαπλασιάζεται σε ένα κύτταρο προκαλεί λύση του κυττάρου. Τα απελευθερούμενα ιοσώματα διαχέονται και μολύνουν τα γειτονικά τους κύτταρα στην αγαρόζη, αναπαράγονται, προκαλούν λύση, και απελευθερώνονται εκ νέου. Το μέγεθος της σχηματιζόμενης πλάκας εξαρτάται από τον ιό, το κύτταρο-ξενιστή, και τις συνθήκες της καλλιέργειας. (β) Φωτογραφία ενός τρυβλίου με πλάκες τις οποίες δημιουργήσε ένας βακτηριοφάγος σε στιβάδα δεκτικών βακτηρίων. Κάθε πλάκα έχει μέγεθος περίπου 1-2 mm.

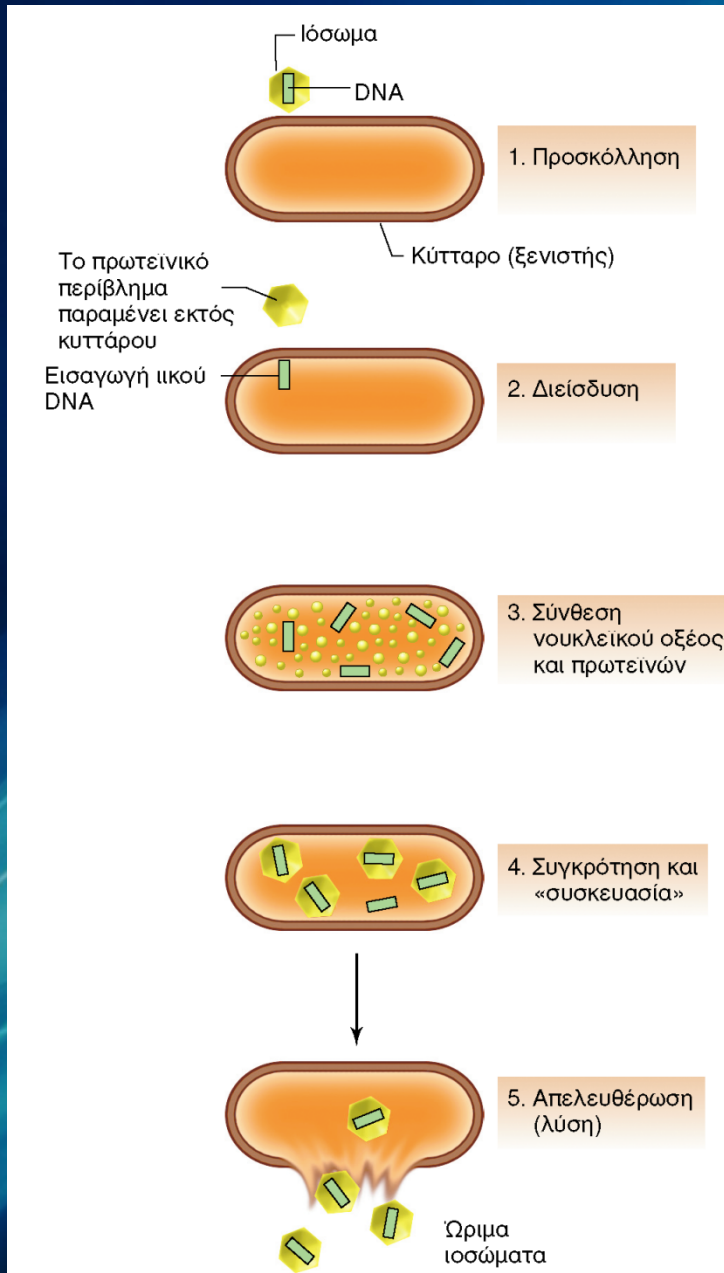


Συμπαγής μονοστιβάδα από την καλλιέργεια κυττάρων ζωικού ιστού

Ιικές πλάκες



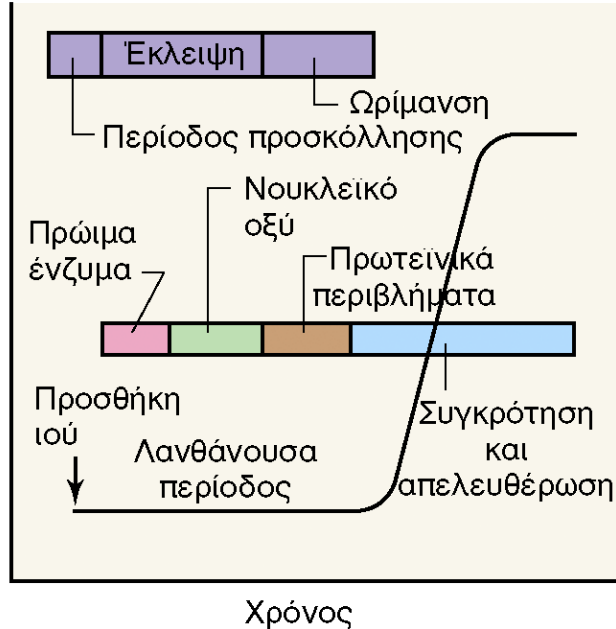
**Εικόνα 9.7** Μονοστιβάδα κυτταροκαλλιέργειας σε τρυβλίο Petri. Παρατηρήστε την εμφάνιση πλακών στα σημεία της ιογενούς κυτταρικής λύσης. Επάνω αριστερά, φωτογραφία της κυτταροκαλλιέργειας όπως φαίνεται στο οπτικό μικροσκόπιο.



Εικόνα 9.8

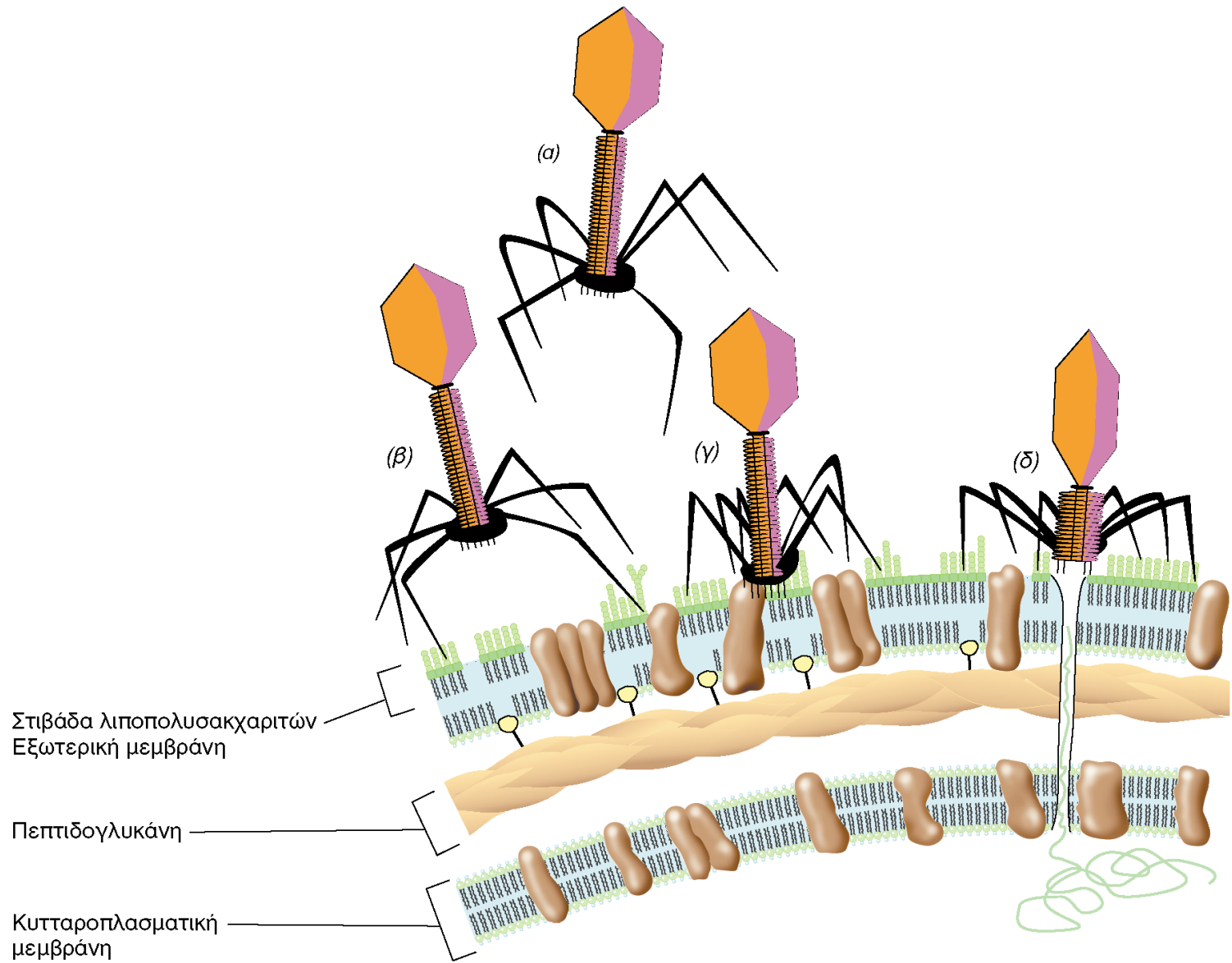
Ο βιολογικός κύκλος ενός βακτηριακού ιού. Επισημαίνονται τα βασικά στάδια του ιικού πολλαπλασιασμού.

**Σχετικός αριθμός ιών  
(μονάδες σχηματισμού πλακών)**



**Εικόνα 9.9**

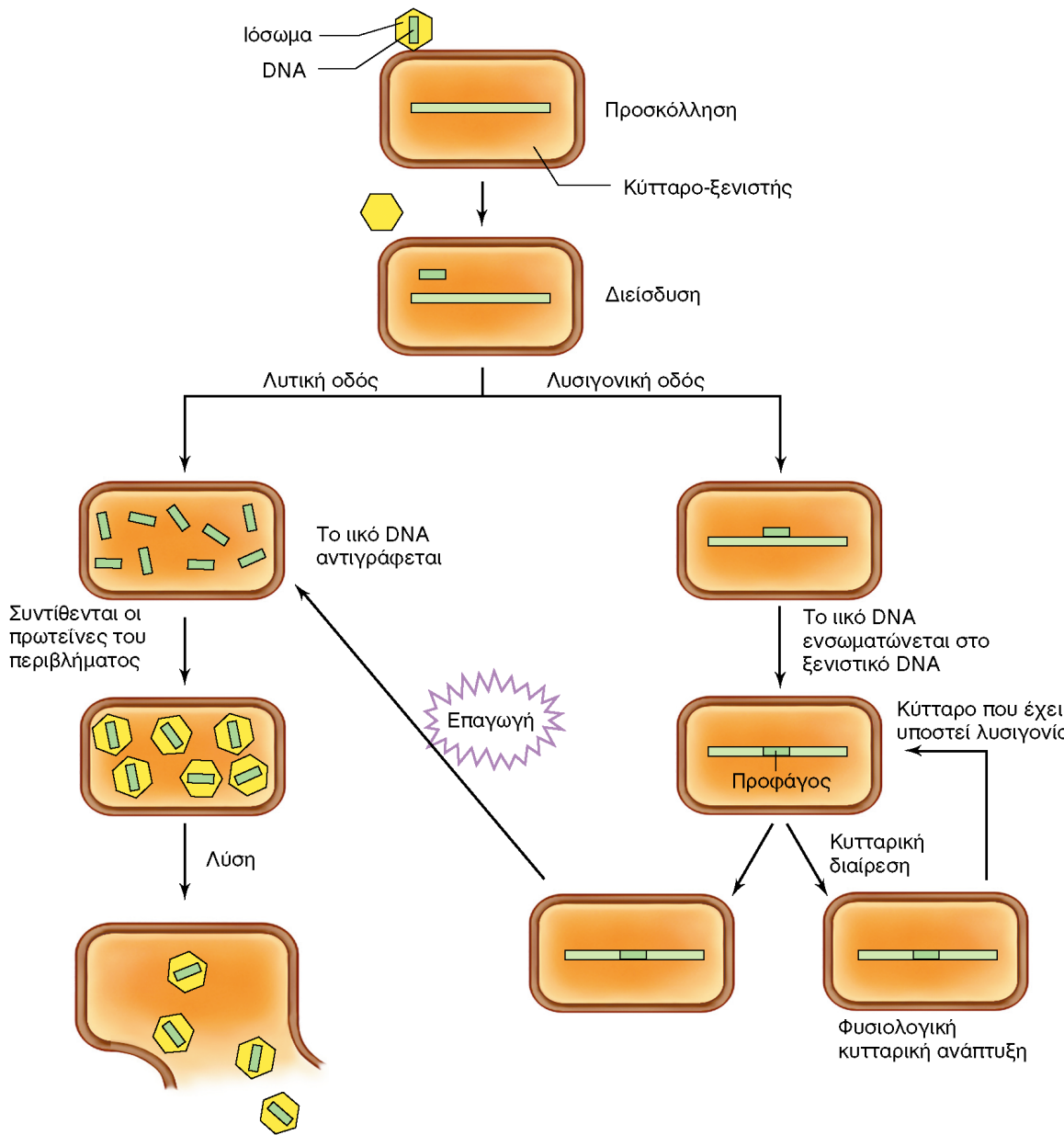
Η μονοφασική καμπύλη ανάπτυξης της πικής αντιγραφής. Το διάγραμμα παρουσιάζει τα αποτελέσματα ενός κύκλου πικού πολλαπλασιασμού σε κάποιον πληθυσμό κυττάρων. Μετά την προσκόλληση, η μολυσματικότητα των ιοσωμάτων εκμποδενίζεται. Το φαινόμενο αυτό λέγεται έκλειψη και οφείλεται στην απώλεια του ιοσωματικού καλύμματος. Κατά τη διάρκεια της λανθάνουσας περιόδου γίνεται η αντιγραφή του νουκλεϊκού οξέος και των πρωτεΐνων του ιού. Ακολουθεί η περίοδος ωρίμανσης, κατά την οποία το πικό νουκλεϊκό οξύ και οι πικές πρωτεΐνες συγκροτούνται σε ώριμα ιοσώματα. Αν σε αυτό το στάδιο προκληθεί τεχνητή λύση του κυττάρου, οι ιοί που ανιχνεύονται είναι ενεργοί. Το τελικό στάδιο περιλαμβάνει την απελευθέρωση, είτε αυτή γίνεται με, είτε χωρίς λύση του ξενιστικού κυττάρου. Η συνολική χρονική διάρκεια του μονοφασικού κύκλου ανάπτυξης ποικίλλει ανάλογα με τον ιό και τον ξενιστή. Συγκρίνετε το γενικό αυτό διάγραμμα και τις έγχρωμες φάσεις του με συγκεκριμένα αντιγραφικά στάδια του βακτηριοφάγου T4 στην Εικόνα 9.15.



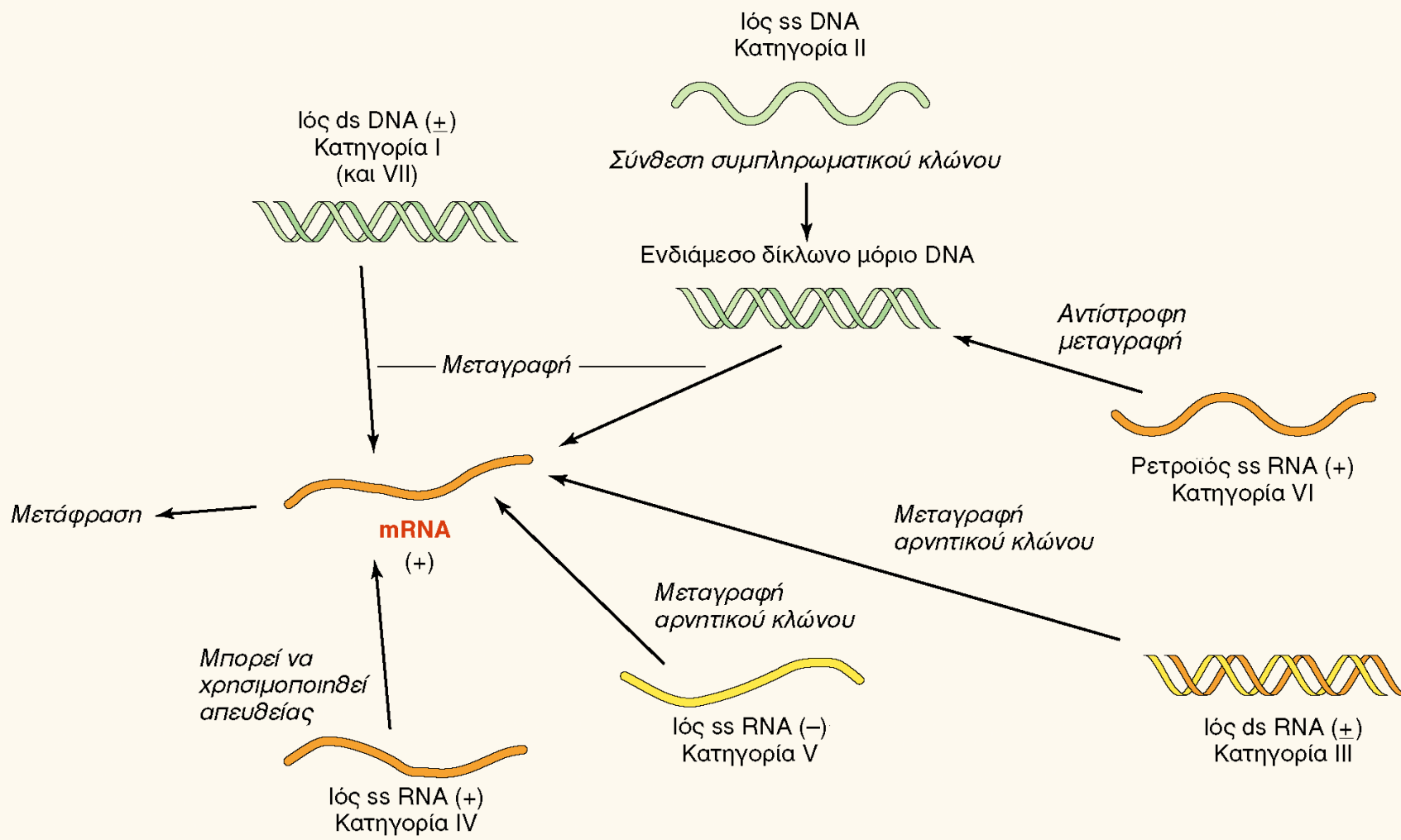
### Εικόνα 9.10

Προσκόλληση του ιοσώματος του Βακτηριοφάγου T4 στο κυτταρικό τοίχωμα της *Escherichia coli*, και διείσδυση του DNA του φάγου.

(α) Μη προσκολλόμενο ιόσωμα. (β) Προσκόλληση στο τοίχωμα μέσω της αλλοπεπίδρασης των μακριών ουραίων ινιδίων με τον πυρίνα του λιποπολυσακχαρίτη της εξωτερικής μεμβράνης. (γ) Επαφή του κυτταρικού τοιχώματος με τις ακίδες στο άκρο του κορμού της ιικής ουράς. (δ) Συστολή της θίκης του ουραίου στελέχους και διείσδυση του DNA. Για λεπτομέρειες σχετικά με τα κυτταρικά τοιχώματα των αρνητικών κατά Gram Βακτηρίων, βλ. Τμήμα 4.9.



**Εικόνα 9.16** Οι συνέπειες της μόλυνσης από έναν πίπο βακτηριοφάγο. Οι δύο εναλλακτικές οδοί της μόλυνσης είναι είτε η αντιγραφή και απελευθέρωση του ώριμου ιού (λύση) είτε η ενσωμάτωση του ιικού DNA στο ξενιστικό DNA (λυσιγονία). Υπό ορισμένες συνθήκες, πάντως, μπορεί και το λυσιγονικό κύτταρο να οδηγηθεί στην παραγωγή ώριμων ιών και στη λύση.



**Εικόνα 9.11** Σύνθεση του mRNA μετά τη μόλυνση κυττάρων με ιούς διαφόρων κατηγοριών. Ο χημικός προσανατολισμός του mRNA λαμβάνεται εξ ορισμού ως θετικός (+). Τα διαφόρα νουκλεϊκά οξέα των ιών ονομάζονται θετικά (+) όταν είναι ίδιου προσανατολισμού με εκείνον του mRNA του ιού, αρνητικά (-) όταν είναι συμπληρωματικά ως προς το πικό mRNA, και αμφοτερόσημα (±) όταν το πικό νουκλεϊκό οξύ είναι δίκλωνο. Σχεδόν όλοι οι μονόκλωνοι DNA-ιοί «είναι θετικοί», αν και σε μερικές περιπτώσεις μπορεί να «συσκευαστεί» στο ιόσωμα είτε ο θετικός είτε ο αρνητικός κλώνος. Δεν είναι απολύτως σαφές εάν ένα ιόσωμα με αρνητικό κλώνο είναι μολυσματικό. Στον Πίνακα 9.2 παρουσιάζονται οι διάφορες κατηγορίες του Συστήματος Ταξινόμησης του Baltimore.